

محاسبه‌ی ضریب رفتار سازه‌های مهاربندی شده‌ی هم محور فولادی

مجید صادق‌آذر (دانشیار)

مهندی غفوری (کارشناس ارشد)

دانشکده‌ی فنی - گروه مهندسی عمران، دانشگاه تهران

در این نوشتار بعد از نگاهی کذرا به اهمیت ضریب رفتار و کاربرد آن در سازه‌ها، محتوای این ضریب و عوامل مؤثر بر مقدار آن مورد بررسی قرار گرفته است. همچنین نحوه محاسبه‌ی این ضریب توسط یکی از روش‌های متدال، یعنی روش ارائه شده توسط فریمن مورد بررسی قرار گرفته است. سپس پارامترهای مورد استفاده در این تحقیق برای محاسبه‌ی ضریب رفتار ارائه شده و ضرایب رفتار قاب‌های دو بعدی مهاربندی شده‌ی هم محور فولادی، به دو صورت ضربه‌زد و ۸ شکل، با در نظر گرفتن درصد گیرداری تیر به ستون و پای ستون، و نیز درصد سخت شدنگی کرنش به صورت نسبی از مدول یانگ محاسبه شده است؛ و در نهایت مقادیر بدست آمده مورد بحث و بررسی قرار گرفته است.

اعضای غیرسازه‌ی اندکی دچار خزلی می‌شوند و اکثرًا قابل استفاده‌اند. اینمی‌جانی. خسارت کلی ساختمان در این سطح عملکرد در حد متوسط است. در مورد اعضای سازه‌ی، سختی و مقاومت باقیمانده در تمام طبقات وجود دارد به طوری که سیستم باربر تلقی عمل می‌کند، ولی تغییرشکل ماندگار در سازه وجود دارد. در این سطح عملکرد بسیاری از تأسیسات ساختمان و عناصر معماری صدمه می‌بینند. آستانه‌ی فروریزش. در این سطح خسارت کلی شدید، سختی و مقاومت باقیمانده اعضا سازه‌ی بسیار ناچیز، تغییرشکل‌های ماندگار زیاد، و دیوارها و دست‌اندازهای مهاربندی گسیخته شده و ساختمان در آستانه فروریزش قرار می‌گیرد. در اعضای غیرسازه‌ی خرابی گسترده ایجاد می‌شود با این وجود ستون‌ها و دیوارها هنوز عمل می‌کنند.

تغییر شکل جانبی سازه درمورد هر یک از سطوح فوق و با توجه به سیستم سازه‌ی به مقداری محدود شده است که این مقدار در مورد قاب مهاربندی شده برای سطح عملکرد اینمی‌جانی ۱/۵ درصد و سطح آستانه‌ی فروریزش ۲ درصد ارتقاء سازه است.^{[۱] و [۲]}

۳. پارامترهای مؤثر در ضریب رفتار
پارامترهای اصلی مؤثر بر مقدار ضریب رفتار، عبارت است از: ضریب کاهش نیرو در اثر شکل پذیری اجزای سازه (R_μ)، و ضریب اضافه مقاومت (R_s).

۱.۳. ضریب کاهش نیرو در اثر شکل پذیری $\{R_\mu\}$ سازه‌ها بر اثر شکل پذیری، مقدار قابل توجهی از انرژی زلزله را به صورت پسماند مستهلك کرده، مقدار نیروهای وارده را کاهش می‌دهند و اثر

۱. مقدمه

با توجه به اثر تخریبی زلزله‌های اخیر بر سازه‌ها، مشاهده شده است که برخی از روش‌های کنونی طراحی لرزه‌بی از دقت کافی برخوردار نیستند و لزوم اصلاح آن‌ها احساس می‌شود. در تحقیقات صورت گرفته سعی شده است تا با استفاده از روش‌های طراحی با سطح عملکرد سازه، برخی از پارامترهای طراحی لرزه‌بی کنونی اصلاح شود. یکی از پارامترهای مهم و اساسی ضریب رفتار سازه است که متأسفانه در حال حاضر روش مناسب تعیین و استفاده از آن در طراحی لرزه‌بی در آینه نامه وارد نشده است. در این نوشتار نسبت به محاسبه و مقایسه‌ی ضریب رفتار سازه‌های فولادی مهاربندی شده هم محور اقدام شده است.

۲. سطح عملکرد سازه

سطح عملکرد ساختمان براساس سطح عملکرد اجزای سازه‌ی و غیرسازه‌ی آن تعیین می‌شود، و در آن تغییرشکل تراز بام ساختمان محدود می‌شود. خسارت احتمالی برای چهار سطح مختلف عملکرد ساختمان در حالت وقوع زلزله چنین تعریف شده است.^{[۱] و [۲]} خدمت رسانی بی وقفه. در این سطح، خسارت کلی ساختمان بسیار کم است. سختی و مقاومت اعضا سازه‌ی تقریباً تغییری نکرده و تغییرشکل ماندگار و ترک خودگی در این اعضا ایجاد نمی‌شود. درمورد اعضا غیرسازه‌ی، تمام سیستم‌های لازم برای عملکرد ساختمان فعال باقی می‌مانند.

قابلیت استفاده بی وقفه. در این سطح عملکرد خسارت کلی ساختمان و همچنین تغییر سختی و مقاومت اعضا سازه‌ی کم است.

در هنگام زلزله نرم‌تر و پریود ارتعاش و میرانی آن بیشتر می‌شود و نتیجتاً نیروی وارد به سازه کاهش می‌یابد. اگر میرایی سازه را در هنگام وقوع زلزله به جای 3° درصد، معادل 7° درصد در نظر بگیریم، طیف خطی نیروهای زلزله کاهش می‌یابد. حال اگر پریود اولیه‌ی سازه را پریود محاسباتی یا پریود حاصل از روابط آیننامه‌ی در نظر بگیریم، این پریود در اثر اعمال زلزله و تغییر سختی سازه به پریود غیرخطی سازه تبدیل می‌شود. مقدار احتیاجات زلزله از تقسیم مقدار نیروی مورد لزوم برای سازه در طیف خطی با 3° درصد میرانی و پریود ارتعاشی اولیه بر مقدار نیرو در طیف غیرخطی با 7° درصد میرانی و پریود غیرکشسانی آن به دست می‌آید.^[۲]

ضریب رفتار ناشی از ظرفیت سازه از رابطه‌ی $R_c = C_u / C_D$ به دست می‌آید که در آن C_u برش پایه‌ی بیشینه در حالت نهایی به وزن سازه و C_D برش پایه‌ی محاسباتی وسط آیننامه بر وزن سازه است.

ضریب رفتار ناشی از احتیاجات لرزه‌ی از رابطه $R_D = S_{a1} / S_{a2}$ به دست می‌آید که در آن S_{a1} ، شتاب طیفی حاصل از طیف 3° درصد میرانی برای پریود خطی سازه، و S_{a2} شتاب طیفی حاصل از طیف 7° درصد میرانی برای پریود غیرخطی (پریود در لحظه نهایی) سازه است.

ضریب رفتار کلی سازه از حاصل ضرب دو مقدار R_D و R_C به دست خواهد آمد:

$$R = R_c \cdot R_D$$

۵. مشخصات کلی قاب‌های مورد بررسی

دو نوع مهاربند ضربه‌ری و Δ شکل مورد بررسی قرار گرفته است. تعداد دهانه‌های مهاربندی ۱ و ۲ دهانه و عرض دهانه‌ها ۳، ۴ و ۵ متر است (شکل ۱). تعداد طبقات ۲، ۴، ۶، ۸، ۱۰، ۱۲، ۱۵ و ۱۵ طبقه فرض شده است. در تحلیل و طراحی قاب‌ها، اتصالات تیر به ستون به صورت مفصلی و نیمه‌گیردار در نظر گرفته شده است.

قاب‌های انتخابی، قاب‌های کناری یک ساختمان هستند که فاصله‌ی دو دهانه‌ی جانبی آن‌ها 4×2 متر است. سطح بارگیری یک مهاربند در هر طبقه 48 مترمربع است که در قاب‌های دو دهانه (با دو مهاربند) به 96 مترمربع افزایش یافته است. ارتفاع هر طبقه 3 متر فرض شده است (شکل ۱).

سیستم سقف به صورت یک طرفه است، به طوری که بارهای قائم بر روی قاب مورد نظر اعمال می‌شود. به دلیل استفاده از قاب‌های کناری، بار دیوارهای اطراف ساختمان نیز به این قاب‌ها وارد می‌شود. با توجه به جزئیات اجرایی سقف، مقدار بارگستردگی سقف 600 کیلوگرم بر مترمربع، بار دیوارهای اطراف 700 کیلوگرم بر متر، و مقدار بار

ضریب کاهش نیرو را به همراه دارند. مقدار استهلاک انرژی بستگی به میزان شکل‌بندیری کلی سازه دارد.

براساس مطالعات انجام یافته مشخص شده است که ضریب کاهش نیرو نه تنها به مشخصات سیستم بلکه به مشخصه‌های حرکات زمین نیز بستگی دارد. برای حرکت زمین، (R_μ) تابعی است از پریود نوسان سازه (T)، میرایی، نوع رفتار پسماند و میزان تغییرشکل غیرخطی سازه (ضریب شکل‌بندیری μ)، که تأثیر پریود نوسان و میزان تغییرشکل غیرخطی بیشتر از دو مورد دیگر است. همچنین در محدوده‌های بالای پریود، این ضریب تقریباً مستقل از پریود بوده و تقریباً مساوی شکل‌بندیری سازه است؛ در محدوده پائین پریود نیز این ضریب به شدت به پریود وابسته است. برای سازه‌های خیلی صلب ($T \cong 0$) که کاهش نیرو در اثر شکل‌بندیری غیرممکن است، این ضریب برابر 1 است.

۲.۳. ضریب اضافه مقاومت $\{R_s\}$

مقدار مقاومت ذخیره شده در سازه از حد مقاومت اولیه‌ی جاری شدن محسوس سازه (C_s) تا حد مقاومت نهایی سازه (فروریزش سازه، C_y) اضافه مقاومت سازه نامیده می‌شود. در واقع مقدار مقاومتی که بر اثر عوامل مختلف (از جمله مشخصات مصالح) در سازه ذخیره شده و انهدام سازه را به تأخیر می‌اندازد «اضافه مقاومت سازه» است. مقدار اضافه مقاومت موجود در سازه‌های واقعی بسیار متغیر است و به نوع مصالح مصرفی، نوع سیستم سازه‌یی، شکل کلی سازه از نظر هندسی، تعداد طبقات، جزئیات اجرایی، نوع و تاریخ آیننامه‌ی طراحی سازه و ... بستگی دارد.

۴. تعیین ضریب رفتار با استفاده از روش فریمن^[۳]

فریمن تمام پارامترهای مؤثر بر ضریب رفتار را در دو پارامتر اصلی «ظرفیت جانبی نهایی سازه» و «احتیاجات زلزله» خلاصه کرده است. ظرفیت جانبی نهایی سازه با انجام یک تحلیل استاتیکی غیرخطی پیش‌رونده و با به دست آوردن منحنی تغییر شکل‌نیرو تعیین می‌شود. در واقع این ضریب همان ضریب اضافه مقاومت (R_s) تعریف شده در قسمت‌های گذشته است. احتیاجات زلزله‌یی (لرزه‌یی) در واقع بیان‌کننده نیرویی است که در هنگام وقوع زلزله به سازه وارد می‌شود. این نیرو در هنگام وقوع زلزله، به دلیل وجود رفتار غیرخطی و الاف انرژی ناشی از رفتار پسماند و افزایش میرایی سازه کم‌تر از حالت رفتار خطی است. در واقع احتیاجات زلزله همان ضریب کاهش نیرو بر اثر شکل‌بندیری (R_μ) است که در قسمت قبلی تعریف شده برای به دست آوردن احتیاجات زلزله روشی ارائه شده است که در زیر به آن اشاره می‌کنیم: به دلیل وجود رفتار غیرخطی سازه و تشکیل مفاصل خمیری، سازه

در تحلیل غیرخطی قاب‌ها، مشخصات فولاد (با تنش تسلیم $E = 21 \times 10^6$ کیلوگرم بر سانتی‌مترمربع و مدول یانگ $F_y = 240$ کیلوگرم بر سانتی‌متر مربع) به صورت یک رابطه‌ی دوخطی با کرنش سخت شوندگی و میزان سخت‌شدنگی e_2 به میزان $1/\sqrt{3}$ ٪، $5/\sqrt{7}$ ٪ و $7/\sqrt{5}$ ٪ از مدول یانگ در نظر گرفته شده است (شکل ۲).

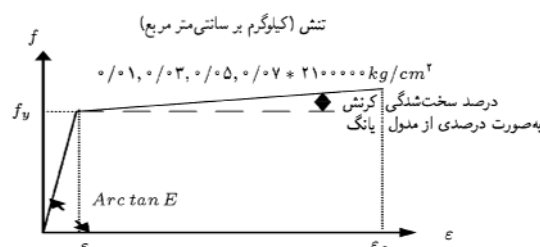
قاب‌ها به صورت دو بعدی با اتصالات تیر به ستون و درصد گیرداری $0\%, 20\%, 40\%, 60\%$ و اتصالات پایی ستون $0\%, 20\%, 40\%, 60\%, 80\%, 100\%$ مدل شده است (شکل ۳). مقاطع اعضا قاب‌ها بگونه‌ی انتخاب شده‌اند که در آنها نسبت تنش موجود به تنش مجاز بین $0.96/\sqrt{10}$ تا $1/\sqrt{10}$ قرار دارد.

شکل پذیری

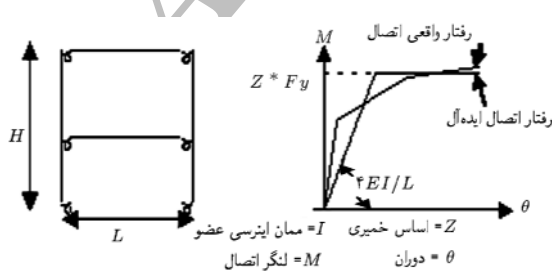
شکل پذیری در یک سازه به شکل پذیری کلی سازه و شکل پذیری محلی تقسیم می‌شود. در مرور شکل پذیری محلی، چرخش خمیری مقطع (θ_p) و کرنش خمیری مقاطع خربایی (ϵ_p) را به بیشینه‌ی آن یعنی به ترتیب 30° و 0.271 محدود کردند که برای گسیختگی عضو مقدار مناسبی است.^[۴] شایان ذکر است که چون کماش مقاطع خربایی

جدول ۱. شماره‌ی مقاطع در نظر گرفته شده برای IPE و UNP.

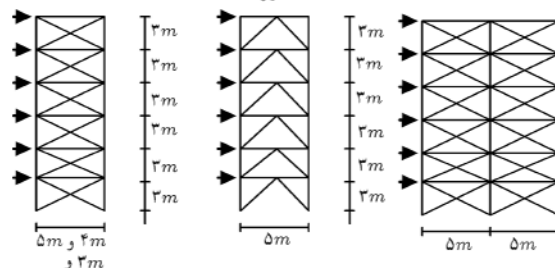
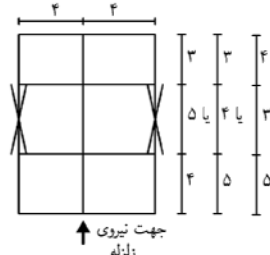
...	۲۲	۲۳	...	۹	۸/۵	۸	IPE...
...	۲۱	۲۰	...	۷	۶/۵	۶	UNP...



شکل ۲. نمودار تنش-کرشن (با سخت‌شدنگی کرشن).



شکل ۳. اتصال فنری برای تیر به ستون و پای سستون و رفتار اتصال باگیرداری 100% .



شکل ۱. مشخصات کلی قاب‌های مورد بررسی.

زنده برای آن‌ها (با توجه به کاربری مسکونی برای ساختمان مورد نظر) برابر 200 کیلوگرم بر مترمربع در نظر گرفته شده است. در محاسبه‌ی وزن سازه برای نیروی زلزله، 20% درصد بار زنده اعمال شده است.

بار جانبی برای طراحی از روش استاتیکی معادل آینه‌ی زلزله 2800 ایان (سال ۱۳۷۶) بدست آمده و براساس پارامترهای آن در ارتفاع قاب پخش شده است.

در تحلیل قاب‌های مورد نظر شتاب مبنای طرح با توجه به منطقه‌ی خطر نسبی زیاد ($A = 0.3$) و زمین نوع IV با $T_s = 1$ و همچنین ساختمان مسکونی با قاب ساده و مهاربندی هم محور فولادی با ضوابط $I = 6$ و $R = 1$ تعیین شده است. در هر دو حالت خطی و غیرخطی تحلیل به صورت استاتیکی انجام شده است.

مقاطع مورد استفاده برای ستون‌ها عبارت‌اند از: ۲IPE با فاصله‌ی برابر ارتفاع مقاطع (مرکز تا مرکز) و برای تیرها ۲IPE بهم چسبیده و برای بادینه‌ها از دو پروفیل ناوданی که به صورت مقطع قوطی در کنار هم قرار گرفته است.

شماره مقاطع در نظر گرفته شده برای IPE و UNP در جدول ۱ آمده است. مقاطع فرضی مابین مقاطع اصلی موجود در جدول پروفیل‌ها از درون‌یابی مقاطع و ممان اینرسی پروفیل‌ها (با درون‌یابی نمودار آنها) بدست آمده است.

در حالت خطی برنامه‌ی مورد استفاده SAP2000، در حالت غیرخطی -2DX Drain است. در هر دو حالت خطی و غیرخطی، تحلیل به صورت استاتیکی انجام شده است.

آینه‌های مورد استفاده عبارت‌اند از: آینه‌ی زلزله 2800 آینه‌ی بارگذاری 519 و مبحث دهم مقررات ملی ساختمان.

$4 = P$: از مقاطع فرعی برای تیرها، ستونها و مهاربندها استفاده شده و در هر 4 طبقه، حداقل مقطع جوابگو به کار رفته است، یعنی تغییر مقطع ستون یا مهاربند در هر 4 طبقه صورت می‌گیرد.

$15 = P$: از مقاطع فرعی برای تیرها، ستونها و مهاربندها استفاده شده و حداقل مقطع جوابگو در اولین طبقه، در سایر طبقات نیز به کار رفته است. (جداول ۲ الی ۱۵)

۶.۲. تأثیر سخت‌شوندگی کرنش بر ضریب رفتار
با توجه به جداول مشاهده می‌شود که با افزایش سخت‌شوندگی کرنش، بر مقدار R_C افزوده شده، از مقدار R_D کاسته شده و در نهایت مقدار R افزایش یافته است. همچنین ضریب R حداقل 50% تغییر کرده که در قاب مهاربندی شده با طبقات کمتر این افزایش بیشتر است، و در قاب 2 طبقه این مقدار بیشینه می‌شود.

۶.۳. تأثیر افزایش طبقات بر ضریب رفتار
با افزایش تعداد طبقات، مقدار ضریب رفتار کاهش می‌یابد که کمترین مقدار این ضریب را در سازه‌ی 15 طبقه مشاهده می‌کنیم.
ضریب R_C در سازه‌های کمتر از 10 طبقه، با افزایش طبقات کاهش می‌یابد و این بدان معناست که اضافه مقاومت سازه‌های با طبقات بیشتر، کمتر است.

در سازه‌های کمتر از 10 طبقه، ضریب R_D با افزایش طبقات زیاد می‌شود و این موضوع حاکی از شکل پذیرتر بودن این سازه‌ها است.

۶.۴. تأثیر عرض دهانه و تعداد دهانه‌های مهاربندی شده بر ضریب رفتار

با کاهش عرض دهانه، مقداری ضریب رفتار نیز کاهش می‌یابد که بیشینه‌ی این کاهش 13% است. تغییرات ضریب R_C نیز تقریباً شبیه

جدول ۲. مهاربندی ضربندری $5\% = e_1$ ، $e_2 = \% = c$ ، $\Delta R_{max} = 0\% = H$

R	R _D	R _C	L	m	n
۱۲,۳۱	۱,۴۰۶	۸,۷۶	۵	۱	۲
۱۰,۹۰	۱,۹۴	۵,۶۲	۵	۱	۴
۱۰,۱۹	۲,۳۷	۴,۳	۵	۱	۶
۱۰,۶۷	۲,۹۹	۳,۶۳	۵	۱	۸
۱۰,۲۱	۳,۲۳	۳,۱۶	۵	۱	۱۰
۸,۸۷	۲,۸۹	۳,۰۷	۵	۱	۱۲
۶,۷۴	۱,۴۹	۴,۵۱	۵	۱	۱۵
۱۰,۶۴	۱,۹۷	۵,۰۰	۴	۱	۴
۲,۹۴	۲,۳۸	۴,۱۷	۴	۱	۸
۸,۵۳	۲,۹۶	۲,۸۸	۴	۱	۱۲
۹,۵۸	۲,۱۱	۴,۰۴	۳	۱	۴
۸,۳۴	۲,۰۷	۴,۰۳	۳	۱	۸
۷,۰۲	۱,۸۹	۳,۷۱	۳	۱	۱۲
۱۱,۲۲	۱,۸۱	۶,۲۰	۵	۲	۴
۱۰,۹۸	۲,۶۷	۴,۱۱	۵	۲	۸
۹,۱۶	۲,۷۱	۳,۳۸	۵	۲	۱۲

نیز ممکن است قبل از رسیدن به بیشینه کرنش خمیری ذکر شده اتفاق بیفتد، در نتیجه کمانش اویلر در این محاسبات در نظر گرفته شده است. در مرور شکل پذیری کالی سازه، بیشترین جایه جایی تراز بام به $H = 15H$ و برای مقایسه به $2H = 10\%$ نیز محدود می‌کنیم که این مقادیر به ترتیب به سطح عملکرد اینمی جانی و آستانه‌ی فروپیش تعلق دارند.^[۲]

۶. نتایج محاسبات^[۵]

۶.۱. علائم و اصطلاحات استفاده شده

R : ضریب رفتار سازه در روش طراحی تنش مجاز؛

R_C : ضریب ظرفیت جانبی نهایی سازه، شامل ضریب اضافه مقاومت

و ضریب تنش مجاز ($1/4$):

R_D : ضریب احتیاجات لرزه‌ی سازه (ضریب کاهش نیرو در اثر

شکل پذیری):

n : تعداد طبقات سازه؛

m : تعداد دهانه‌های مهاربندی شده؛

a : عرض دهانه‌ی مهاربندی شده؛

e_2 : درصد سخت‌شوندگی کرنش به صورت درصدی از مدول یانگ؛

C : درصد گیرداری اتصال پای سوتون (از 50% به معنی اتصال مفصلی کامل، تا 100% به معنی اتصال گیردار کامل)؛

b : درصدگیری اتصال تیر به سوتون (از 50% به معنی اتصال مفصلی کامل تا 100% به معنی اتصال گیردار کامل)؛

ΔR_{max} : بیشینه‌ی تغییر مکان تراز بام (m)؛

H : ارتفاع تراز بام از روی پی (m)؛ ارتفاع هر طبقه 3 متر است که از

ضرب تعداد طبقه در 3 ، مقدار کل H به دست می‌آید.

منظور از مقاطع اصلی، مقاطع موجود در جدول پروفیل‌ها است،

و مقاطع فرعی عبارت‌اند از مقاطع تعریف شده بین مقاطع اصلی و

همچنین خود مقاطع اصلی که در بخش قبلی توضیح داده شد.

علائم به کار رفته در جدول ارائه شده عبارت‌اند از:

O : از مقاطع اصلی برای تیرها، ستون‌ها و مهاربندها استفاده شده و در هر طبقه حداقل مقطع جوابگو به کار رفته است.

O : از مقاطع اصلی برای تیرها، ستون‌ها و مهاربندها استفاده شده و در هر 4 طبقه، حداقل مقطع جوابگو به کار رفته است، یعنی

تغییر مقطع ستون یا مهاربند در هر 4 طبقه صورت می‌گیرد.

O : از مقاطع اصلی برای تیرها، ستون‌ها و مهاربندها استفاده شده و حداقل مقطع جوابگو در اولین طبقه، در سایر

طبقات نیز به کار رفته است.

P : از مقاطع فرعی برای تیرها، ستون‌ها و مهاربندها استفاده شده و در هر طبقه حداقل مقطع جوابگو به کار رفته است.

P : از مقاطع فرعی برای تیرها، ستون‌ها و مهاربندها استفاده شده و در هر طبقه حداقل مقطع جوابگو به کار رفته است.

جدول ۶. مهاربندی ضربدری: $b = \frac{1}{2}^\circ$, $c = \frac{1}{8}^\circ$, $e_2 = \frac{1}{5}^\circ$
 $P = 1$, $\Delta R_{\max} = \frac{1}{10}^\circ 15H$

R	R _D	R _C	L	m	n
12,29	1,41	8,72	5	1	2
10,88	1,94	5,61	5	1	4
10,15	2,38	4,26	5	1	6
10,04	2,97	3,55	5	1	8
10,27	3,26	3,15	5	1	10
8,88	2,89	3,07	5	1	12
6,99	1,55	4,51	5	1	15
10,60	1,97	5,38	4	1	4
9,82	2,38	4,16	4	1	8
8,58	2,95	2,91	4	1	12
9,50	2,11	4,54	3	1	4
8,40	2,10	4,00	3	1	8
7,02	1,89	3,71	3	1	12
11,24	1,81	6,21	5	2	4
11,01	2,68	4,11	5	2	8
9,24	2,71	3,41	5	2	12

جدول 7. مهاربندی ضربدری: $b = \frac{1}{2}^\circ$, $c = \frac{1}{8}^\circ$, $e_2 = \frac{1}{2}^\circ$
 $P = 1$, $\Delta R_{\max} = \frac{1}{10}^\circ 15H$

R	R _D	R _C	L	m	n
10,64	1,41	7,54	5	1	2
10,24	2,02	5,07	5	1	4
9,97	2,40	4,15	5	1	6
10,40	3,08	3,28	5	1	8
10,17	3,22	3,06	5	1	10
8,61	2,96	2,91	5	1	12
6,26	1,67	3,75	5	1	15
10,10	2,04	4,95	4	1	4
9,63	2,74	3,51	4	1	8
8,43	3,01	2,80	4	1	12
9,29	2,18	4,26	3	1	4
8,29	2,19	3,79	3	1	8
6,88	1,92	3,58	3	1	12
10,93	1,89	5,78	5	2	4
10,99	2,76	3,98	5	2	8
9,13	2,81	3,25	5	2	12

جدول 8. مهاربندی ضربدری: $b = \frac{1}{2}^\circ$, $c = \frac{1}{8}^\circ$, $e_2 = \frac{1}{7}^\circ$
 $P = 1$, $\Delta R_{\max} = \frac{1}{10}^\circ 15H$

R	R _D	R _C	L	m	n
13,37	1,41	9,48	5	1	2
11,13	1,84	6,05	5	1	4
10,04	2,32	4,55	5	1	6
10,66	2,88	3,7	5	1	8
10,43	3,16	3,30	5	1	10
9,19	2,87	3,21	5	1	12
7,76	1,47	5,28	5	1	15
11,00	1,92	5,73	4	1	4
9,98	2,18	4,58	4	1	8
8,59	2,86	3,00	4	1	12
9,67	2,09	4,63	3	1	4
8,47	2,01	4,21	3	1	8
7,11	1,83	3,89	3	1	12
11,08	1,70	8,16	5	2	4
11,04	2,61	4,23	5	2	8
9,31	2,63	3,54	5	2	12

جدول 3. مهاربندی ضربدری: $b = \frac{1}{2}^\circ$, $c = \frac{1}{8}^\circ$, $e_2 = \frac{1}{5}^\circ$
 $P = 1$, $\Delta R_{\max} = \frac{1}{10}^\circ 15H$

R	R _D	R _C	L	m	n
12,28	1,41	8,70	5	1	2
10,88	1,94	5,61	5	1	4
10,22	2,37	4,22	5	1	6
10,64	2,93	3,63	5	1	8
10,21	3,23	3,16	5	1	10
8,90	2,89	3,08	5	1	12
6,72	1,49	4,01	5	1	15
10,66	1,97	5,41	4	1	4
9,94	2,38	4,17	4	1	8
8,55	2,97	2,88	4	1	12
9,58	2,11	4,05	3	1	4
8,42	2,09	4,03	3	1	8
7,02	1,89	3,71	3	1	12
11,24	1,81	6,21	5	2	4
10,98	2,67	4,11	5	2	8
9,16	2,71	3,38	5	2	12

جدول 4. مهاربندی ضربدری: $b = \frac{1}{2}^\circ$, $c = \frac{1}{8}^\circ$, $e_2 = \frac{1}{5}^\circ$
 $P = 1$, $\Delta R_{\max} = \frac{1}{10}^\circ 15H$

R	R _D	R _C	L	m	n
12,28	1,41	8,71	5	1	2
10,83	1,94	5,68	5	1	4
10,15	2,38	4,77	5	1	6
10,53	2,97	3,55	5	1	8
10,13	3,26	3,16	5	1	10
8,82	2,88	3,07	5	1	12
6,99	1,55	4,01	5	1	15
10,60	1,97	5,38	4	1	4
9,94	2,38	4,17	4	1	8
8,53	2,96	2,88	4	1	12
9,56	2,12	4,01	3	1	4
8,36	2,09	4,00	3	1	8
7,02	1,89	3,71	3	1	12
11,20	1,81	6,19	5	2	4
10,95	2,67	4,10	5	2	8
9,20	2,71	3,39	5	2	12

جدول 5. مهاربندی ضربدری: $b = \frac{1}{2}^\circ$, $c = \frac{1}{8}^\circ$, $e_2 = \frac{1}{5}^\circ$
 $P = 1$, $\Delta R_{\max} = \frac{1}{10}^\circ 15H$

R	R _D	R _C	L	m	n
12,29	1,41	8,72	5	1	2
10,83	1,94	5,68	5	1	4
10,15	2,38	4,77	5	1	6
10,52	2,97	3,54	5	1	8
10,27	3,26	3,15	5	1	10
8,88	2,89	3,07	5	1	12
6,98	1,55	4,00	5	1	15
10,60	1,97	5,38	4	1	4
9,86	2,37	4,16	4	1	8
8,53	2,96	2,88	4	1	12
9,56	2,12	4,01	3	1	4
8,40	2,10	4,00	3	1	8
7,02	1,89	3,71	3	1	12
11,20	1,81	6,19	5	2	4
10,98	2,67	4,11	5	2	8
9,20	2,71	3,39	5	2	12

جدول ۱۴. مهاربندی ضربدری: $b = 20^\circ$, $c = 80^\circ$, $e_2 = 5\%$
 $p = 1$, $\Delta R_{max} = 10^\circ H$

R	R _D	R _C	L	m	n
۱۳,۴۶	۱,۴۱	۹,۵۵	۵	۱	۲
۱۳,۰۰	۲,۰۹	۶,۲۲	۵	۱	۴
۱۲,۳۲	۲,۵۹	۴,۷۶	۵	۱	۶
۱۳,۰۳	۳,۲۲	۳,۹۳	۵	۱	۸
۱۱,۹۶	۳,۴۹	۳,۴۳	۵	۱	۱۰
۹,۰۹	۲,۹۷	۳,۵۶	۵	۱	۱۲
۶,۹۸	۱,۵۵	۴,۵۰	۵	۱	۱۵

جدول ۱۵. مهاربندی V شکل وارونه: $b = 20^\circ$, $c = 80^\circ$, $e_2 = 5\%$
 $p = 1$, $\Delta R_{max} = 15^\circ H$

R	R _D	R _C	L	m	n
۹,۱۹	۱,۴۱	۶,۵۲	۵	۱	۲
۱۰,۸۵	۱,۹۳	۵,۶۲	۵	۱	۴
۱۰,۱۵	۲,۳۶	۴,۳۰	۵	۱	۶
۱۰,۸۳	۲,۹۱	۳,۷۲	۵	۱	۸
۱۰,۶۱	۳,۱۴	۳,۳۸	۵	۱	۱۰
۹,۲۹	۲,۶۹	۳,۴۵	۵	۱	۱۲
۷,۹۱	۱,۹۳	۴,۱۰	۵	۱	۱۵

ضریب R است، ولی کاهش عرض دهانه باعث افزایش مقدار ضریب R_D می‌شود. با افزایش R_D سازه شکل پذیری بیشتری خواهد داشت ارتفاع طبقه و طول دهانه مهاربندی شده است.)

۶.۵. اثر درصد گیرداری اتصالات بر ضریب رفتار با مراجعه به جداول یادشده مشاهده می‌شود که نیمه‌گیردار اجراسدن اتصالات، به جای اتصالات مفصلی در سازه‌های مهاربندی شده ضریب R_D را تأثیر محسوسی بر مقدار ضریب رفتار یا ضرایب R_D و R_C ندارد. این نتیجه هم برای اتصالات تیر به ستون و هم برای اتصالات پایی ستون بدست آمد.

۶.۶. اثر استفاده از مقاطع قوی تر در اعضا قاب به طور کلی افزایش اعاد مقاطع استفاده شده باعث افزایش ضریب رفتار سازه می‌شود؛ البته این افزایش مقاطع باعث کاهش ضریب R_D (که شکل پذیری نیز در این ضریب نهفته است) می‌شود و فقط افزایش اضافه مقاومت سازه باعث افزایش ضریب رفتار می‌شود.

۶.۷. اثر افزایش بیشینه‌ی جایه‌جایی تراز بام اگر بیشینه‌ی جایه‌جایی تراز بام در حالت نهایی از ۱/۵٪ ارتفاع سازه به ۲٪ افزایش یابد (یعنی اگر سطح عملکرد سازه از اینمی جانی به آستانه‌ی فروریزش تغییر یابد) مقادیر ضریب رفتار بیشینه تا ۱۷٪ افزایش می‌یابد. البته ممکن است در بعضی موارد هیچ افزایشی در مقدار این ضریب حاصل نشود و آن حالتی است که شکل پذیری یکی از اعضاء سازه قبل از آنکه جایه‌جایی تراز بام به ۱/۵٪ ارتفاع سازه برسد، از حد مشخص شده بیشتر شود.

جدول ۹. مهاربندی ضربدری: $b = 20^\circ$, $c = 80^\circ$, $e_2 = 5\%$
 $O = 1$, $\Delta R_{max} = 15^\circ H$

R	R _D	R _C	L	m	n
۱۲,۲۰	۱,۴۱	۱۰,۰۷	۵	۱	۲
۱۱,۰۹	۱,۸۷	۵,۹۳	۵	۱	۴
۱۰,۷۳	۲,۲۸	۴,۷۰	۵	۱	۶
۱۰,۸۰	۲,۸۱	۳,۸۵	۵	۱	۸
۱۰,۳۴	۳,۱۷	۳,۲۶	۵	۱	۱۰
۹,۱۶	۲,۷۹	۳,۲۸	۵	۱	۱۲
۷,۴۱	۱,۴۶	۵,۰۸	۵	۱	۱۵

جدول ۱۰. مهاربندی ضربدری: $b = 20^\circ$, $c = 80^\circ$, $e_2 = 5\%$
 $O = 4$, $\Delta R_{max} = 15^\circ H$

R	R _D	R _C	L	m	n
۱۴,۲۱	۱,۴۱	۱۰,۰۸	۵	۱	۲
۱۱,۷۱	۱,۶۹	۶,۹۳	۵	۱	۴
۱۱,۷۵	۲,۱۴	۵,۴۸	۵	۱	۶
۱۰,۹۷	۲,۷۳	۴,۰۱	۵	۱	۸
۱۰,۴۱	۳,۱۱	۳,۲۵	۵	۱	۱۰
۹,۲۱	۲,۷۸	۳,۳۱	۵	۱	۱۲
۷,۴۴	۱,۴۶	۵,۱۰	۵	۱	۱۵

جدول ۱۱. مهاربندی ضربدری: $b = 20^\circ$, $c = 80^\circ$, $e_2 = 5\%$
 $p = 4$, $\Delta R_{max} = 15^\circ H$

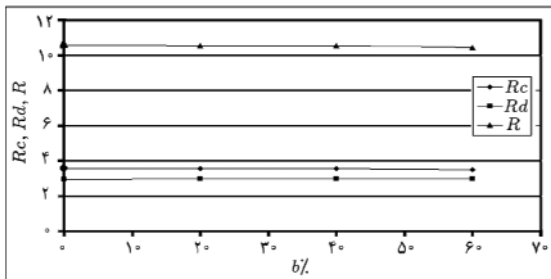
R	R _D	R _C	L	m	n
۱۲,۲۹	۱,۴۱	۸,۷۲	۵	۱	۲
۱۱,۴۶	۱,۷۴	۶,۵۹	۵	۱	۴
۱۱,۸۵	۲,۲۷	۴,۷۹	۵	۱	۶
۱۰,۷۷	۲,۸۱	۳,۸۳	۵	۱	۸
۱۰,۳۱	۳,۲۲	۳,۲۰	۵	۱	۱۰
۹,۱۰	۲,۸۱	۳,۲۴	۵	۱	۱۲
۷,۱۶	۱,۵۳	۴,۶۸	۵	۱	۱۵

جدول ۱۲. مهاربندی ضربدری: $b = 20^\circ$, $c = 80^\circ$, $e_2 = 5\%$
 $O = 15$, $\Delta R_{max} = 15^\circ H$

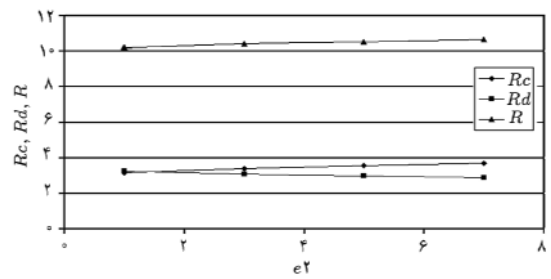
R	R _D	R _C	L	m	n
۱۲,۲۹	۱,۴۱	۸,۷۲	۵	۱	۲
۱۱,۷۱	۱,۶۹	۶,۹۳	۵	۱	۴
۱۲,۰۷	۲,۰۸	۵,۸۱	۵	۱	۶
۱۱,۳۰	۲,۶۱	۴,۳۲	۵	۱	۸
۱۰,۴۸	۳,۰۹	۳,۳۹	۵	۱	۱۰
۹,۴۲	۲,۶۷	۳,۵۳	۵	۱	۱۲
۷,۴۵	۱,۴۱	۵,۰۸	۵	۱	۱۵

جدول ۱۳. مهاربندی ضربدری: $b = 20^\circ$, $c = 80^\circ$, $e_2 = 5\%$
 $p = 15$, $\Delta R_{max} = 15^\circ H$

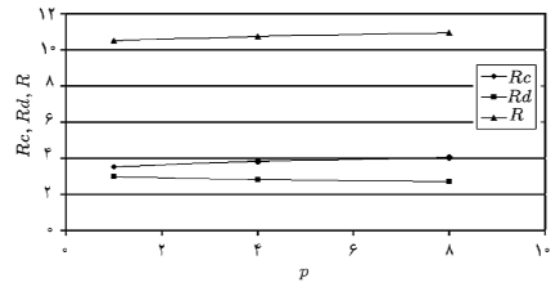
R	R _D	R _C	L	m	n
۱۲,۲۹	۱,۴۱	۸,۷۲	۵	۱	۲
۱۱,۴۶	۱,۷۴	۶,۵۹	۵	۱	۴
۱۱,۰۱	۲,۲۵	۴,۹۰	۵	۱	۶
۱۰,۹۷	۲,۷۲	۴,۰۳	۵	۱	۸
۱۰,۳۶	۳,۲۰	۳,۲۴	۵	۱	۱۰
۹,۲۴	۲,۷۹	۳,۳۱	۵	۱	۱۲
۷,۲۱	۱,۴۹	۴,۸۴	۵	۱	۱۵



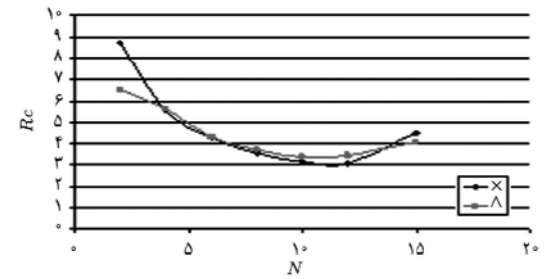
نمودار ۴. بررسی ضرایب R , Rd , Rc با تغییرات درصد گیرداری تیر به سنتون مهاربندی ضربدری قاب ۸ طبقه با دهانه ۵ متر $p = 1$, $e_2 = 5\%$, $C = 8\%$.



نمودار ۵. بررسی ضرایب R , Rd , Rc با تغییرات درصد سخت‌شدنگی کرنش مهاربندی ضربدری قاب ۸ طبقه با دهانه ۵ متر $p = 1$, $C = 8\%$, $b = 2\%$.



نمودار ۶. بررسی ضرایب R , Rd , Rc با تغییرات تعویض مقطع در ارتفاع مهاربندی ضربدری قاب ۸ طبقه با دهانه ۵ متر $C = 8\%$, $b = 2\%$, $p = 1$, $e_2 = 5\%$.

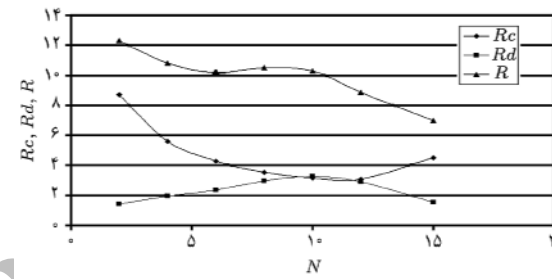


نمودار ۷. بررسی ضرایب Rc با تغییرات تعداد طبقات برای مهاربندی ضربدری و ۸ شکل ۱.

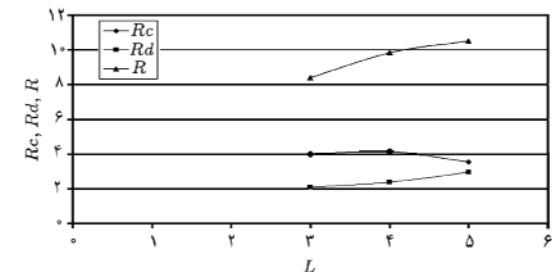
در موارد اضافه کردن این محدودیت جا به جایی، علاوه بر افزایش ضریب R , ضرایب Rd و Rc نیز افزایش می‌یابند.

۸.۶. مقایسه‌ی مهاربندی‌های ضربدری با Δ شکل

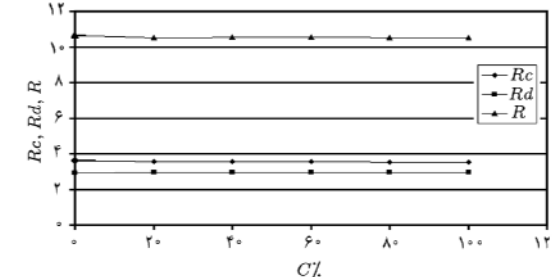
در سازه‌های بیشتر از ۶ طبقه، قاب‌ها با مهاربندی Δ شکل ضریب رفتاری بزرگ‌تر از ضرایب رفتار قاب‌های مهاربندی شده ضربدری دارد. در قاب‌های ۴ و ۶ طبقه، ضریب R تقریباً تغییری نکرده ولی در قاب ۲ طبقه، قاب مهاربندی شده ضربدری، ضریب رفتار بزرگ‌تری دارد. ضریب R_D در قاب‌های مهاربندی شده ضربدری بیشتر از مهاربندی Δ شکل است. این نتیجه برای قاب ۱۵ طبقه متفاوت است. نتایج به دست آمده در نمودارهای (۱) الی (۶) خلاصه شده است.



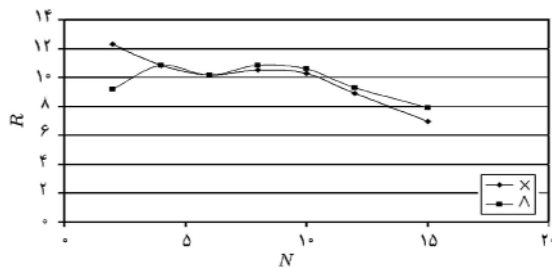
نمودار ۱. بررسی ضرایب Rc , Rd , R با تغییرات تعداد طبقات مهاربندی ضربدری.



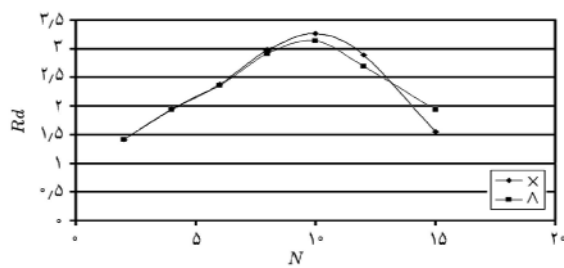
نمودار ۲. بررسی ضرایب Rc , Rd , R با تغییرات عرض دهانه مهاربندی ضربدری قاب ۸ طبقه ۱.



نمودار ۳. بررسی ضرایب Rc , Rd , R با تغییرات درصد گیرداری پای سنتون مهاربندی ضربدری قاب ۸ طبقه با دهانه ۵ متر $p = 1$, $e_2 = 5\%$, $b = 2\%$.



نمودار ۹. بررسی ضریب R با تغییرات تعداد طبقات برای مهاربندی ضربدری و Δ شکل $e_2 = 1/5$, $C = 1/8^\circ$, $b = 1/2^\circ$, $p = 1$.



نمودار ۸. بررسی ضریب Rd با تغییرات تعداد طبقات برای مهاربندی ضربدری و Δ شکل $e_2 = 1/8^\circ$, $C = 1/5$, $b = 1/2^\circ$, $p = 1$.

با توجه به سطوح عملکرد سازه و نتایج به دست آمده به نظر می‌رسد که فاصله‌ی کمینه‌ی دو سازه از یکدیگر — که در آیین‌نامه‌ی زلزله‌ی ۱۳۷۶ ایران (۲۸۰٪ ارتقای سازه در نظر گرفته شده است — کم باشد و ممکن است باعث برخورد دو سازه به یکدیگر شود.

شایان ذکر است که روش‌های متفاوتی برای محاسبه‌ی ضریب رفتار وجود دارد که می‌تواند نتایج نسبتاً متفاوتی داشته باشد. نتایج تحلیل تاریخچه‌ی زمانی زلزله نیز می‌توانند تغییراتی در این ضریب ایجاد کنند، ولی آنچه واضح است پراکندگی مقدار ضریب رفتار با توجه به پارامترهای مختلف سازه است.

نتیجه‌گیری

با نتایج به دست آمده مشاهده می‌شود که ضریب رفتار سازه‌های کمتر از ۱۵ طبقه در بیشتر موارد از ضریب ذکر شده در آیین‌نامه‌ها بیشتر است (به خصوص در آیین‌نامه‌ی ایران که این ضریب معادل ۶ در نظر گرفته شده است).

نتیجه‌ی دیگر این است که استفاده از یک ضریب ثابت (عدد ۶) برای کلیه‌ی سازه‌های مهاربندی شده هم محور فولادی (با قاب ساده) کار درستی نیست و در بیشتر موارد سازه غیراقتصادی و در انکه موارد نیز ممکن است ضریب اطمینان خوبی در برابر رفتار زلزله نداشته باشد.

منابع

۱. سازمان مدیریت و برنامه‌ریزی. «دستورالعمل بهسازی لرزه‌ی ساختمان‌های موجود»، پژوهشگاه بین‌المللی زلزله، (خرداد ۱۳۸۱).
۲. سازمان مدیریت و برنامه‌ریزی. «تفسیر دستورالعمل بهسازی لرزه‌ی ساختمان‌های موجود»، پژوهشگاه بین‌المللی زلزله، (مهر ۱۳۸۱).
3. Freeman, S. A., "On The correlation of code force to earthquake demands", Proc. Of The 4th U. S. - Japan Workshop on Improvement of Building Structural Design and Construction Practices, ATC 15-3 (1990).
4. Lee, D. G., Song, J. K and Yun, C. B., "Estimation of System - Level Ductility Demands for Multi Story Structures", *J. of Engineering Structures*, **19**, (12), pp. 1025-1033 (1997).
۵. غفوری، مهدی. «محاسبه ضریب رفتار سازه‌های مهاربندی شده هم محور فولادی»، پایان‌نامه‌ی کارشناسی ارشد، دانشکده فنی، دانشگاه تهران، شهریور ۱۳۸۲.